

41 2波長同時発振DIALシステムによるNO₂測定

Two-wavelength Lasing DIAL System for NO₂ Measurement.

杉本伸夫、竹内延夫、奥田典夫

N. Sugimoto, N. Takeuchi and M. Okuda

国立公害研究所

National Institute for Environmental Studies

1. はじめに

著者らは、大気汚染気体のうち特に重要なもののひとつであるNO₂の濃度分布を遠隔計測することを目的に、フランク・シュランプ励起色素レーザーを用いた差分吸収レーザーDIALの開発を行なってきた。排煙流を対象に行なった測定実験の結果、2波長を1ショットごとに切り換えた方法で、60回(4分間)の積算により、距離分解能120mで、500mの距離まで0.03ppm以上の精度を得た。これは高濃度の領域におけるNO₂濃度の測定には十分な精度である。しかし、2波長を交互に切り換えた方法においては、誤差の主な原因是、波長切り換えの間に起こるエアロゾルの変化によるもので、測定精度をさらに向上させたためには2波長同時測定が有効であると考えられたことが示された。このため、色素レーザーの2波長同時発振化を行ない、基礎的な実験を行なった。

2. NO₂測定用DIALシステムの概要

表1にシステムの仕様を示す。

NO₂の吸収の極大 $\lambda_{on} = 463.1\text{ nm}$, $\sigma_{on} = 4.7 \times 10^{-23}\text{ m}^2$ 、および極小 $\lambda_{off} = 465.8\text{ nm}$, $\sigma_{off} = 2.3 \times 10^{-23}\text{ m}^2$ の2波長を用い、DIAL測定を行なう。波長選択は2波長交互に切り換えた場合、共振器中のエタロン角度をステップモーターを使って調節することによって行なう。2波長同時発振については後に述べた。

送信系	NEC SL-269型色素レーザー 励起； 同軸フランク・シュランプ(Phase-R DL-15Y) 色素； C1Hクマリン($1.5 \times 10^{-4}\text{ Mol/l}$ アルコール溶液) 発振波長； 463.1nm, 465.8nm スペクトル巾； ~0.1nm 出力エネルギー； ~100mJ 繰り返し； 0.5pps パルス巾； 600nsec
受光系	30cmカセグレン型望遠鏡 光電子増倍管； HTV R-376
信号処理系	トランジションレコード； 岩谷 EM-901 × 2台 (8bits, 1024 segments, ゲートタイム 10nsec)
制御系	CPU； NOVA 02

3. DIALによる排煙流の測定

国立公害研エルギーセンターからの排煙を対象にDIALシステムの測定実験を行なった。これは、波長を交互に切り換えて測定したものである。Fig. 1に測定された2波長における受信信号の比、およびこれより計算されたNO₂濃度分布を示す。濃度分布は排煙附近でピークを示し、ピーク値は~0.17ppmであった。Fig. 1に見られるように測定誤差は遠距離よりもしづら付近で大きくなっていることがわかる。

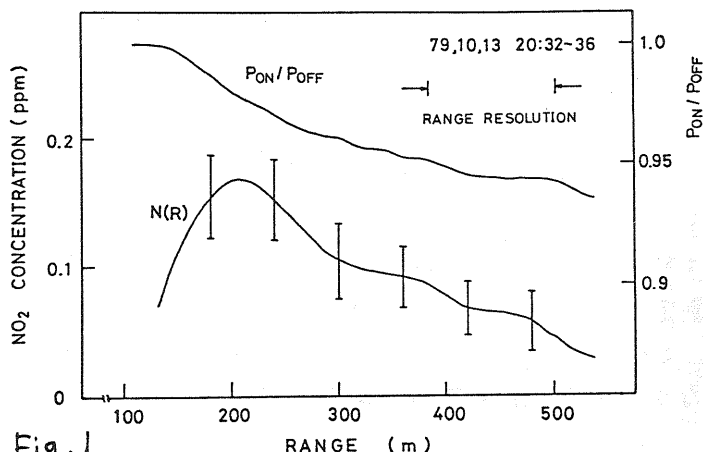


Fig. 1

4. 測定誤差の検討

DIAL測定では、濃度 $N(R)$ は、 $\sigma_d = \sigma_{on} - \sigma_{off}$ とおき、受信光強度を P_{on}, P_{off} 、距離分解能を ΔR とすると $N(R) = (2\sigma_d \Delta R)^{-1} \{ \ln [P_{on}(R)/P_{on}(R+\Delta R)] - \ln [P_{off}(R)/P_{off}(R+\Delta R)] + B + T \} \dots (1)$ で算出された。B, Tはエアロゾル後方散乱係数 β が $\lambda_{on}, \lambda_{off}$ で等しい場合は0である。

また、 $N(R)$ の標準偏差は $\Delta N(R)^2 \simeq (4\sigma_d^2 \Delta R^2)^{-1} \left[\sum_{i=on, off} (\Delta P_i(R)^2/P_i(R)^2 + \Delta P_i(R+\Delta R)^2/P_i(R+\Delta R)^2) \right] \dots (2)$ と表わされた。ここで $P_{on}(R) \times P_{off}(R)$ の相関の項は省略した。 $P(R)$ に対する誤差の原因としては、レーザーパワーの変動、ショットノイズ、ディジタル化ノイズ、エアロゾル後方散乱係数 β の変動などが考えられる。このうちレーザーパワーの変動は(1)式において打ち消すので直接には誤差の原因にならない。従って $(\Delta P/p)^2 \simeq (h\nu/\eta_T)(1/p) + (\text{const}/p)^2 + (\Delta\beta/\beta)^2 \dots (3)$ と表わすことができた。第一項はショットノイズ、二項はディジタル化ノイズ、三項はエアロゾルの変動である。今、測定データより $(\Delta P/p)^2$ を見積もったため、 $F(R) = P_{off}(R+\Delta R)/P_{off}(R)$ に対する標準偏差を計算し、fig. 2に示した。 $(\Delta F/p)^2 \simeq (\Delta P(R)/P(R))^2 + (\Delta P(R+\Delta R)/P(R+\Delta R))^2$ と考えられたので $1/2(\Delta F(R)/F(R))^2$ をプロットしてある。また、ショットノイズ、ディジタル化ノイズについて、Pの測定値を用いて見積った値をfig. 2に示した。fig. 2でもわかるように、 $(\Delta P/p)^2$ においてショットノイズ、ディジタル化ノイズは小さく、 $(\Delta\beta/\beta)^2$ がほとんどであると考えられる。 $(\Delta\beta/\beta)^2$ は β の値をなすうちエアロゾル濃度に依存していると考えられ、濃度の高い排煙付近で大きくなっている。

次に、(1)式を用いて計算された $N(R)$ の標準偏差をfig. 2のBに示した。 $(\Delta P/p)^2$ と比較するために(2)式の〔〕内の $1/4$ に相当する量 $\sigma_d^2 \Delta R^2 \Delta N(R)^2$ をプロットした。このデータでは、2波長を交互に(2秒ごとに)切り換えて測定を行なった。 $\beta_{on}(R)$ と $\beta_{off}(R)$ の間に相関がなければBはAと一致するはずであるが、長周期のエアロゾル変化があるため、(1)式中で $\Delta\beta_{on}, \Delta\beta_{off}$ がキャンセルしてBはAよりも小さくなっている。詳細には β の変化の周波数成分を調べる必要があるが、DIAL測定において $\Delta\beta$ による誤差を除くためには(1)式中で $\Delta\beta_{on}, \Delta\beta_{off}$ が打ち消すように2波長を同時に測定するか、 β の変化を無視でき了時間内に波長を切り換えて測定する必要があることがわかった。

5. 2波長同時発振DIALシステム

同軸フラッシュランプ中に2本の色素セルを通して、2つの独立した共振器を構成することにより、色素レーザーの2波長同時発振化を行なった。(Phase-R, 2C-2Dアダプタを使用)。出力エネルギーは、2波長合わせて $\sim 80 \text{ mJ}$ が得られた。また、DIAL測定において重要な2波長発振のタイミングはfig. 3に示すようによく一致しており、タイミングおよび波型のバラツキについてもよい結果を得ている。

受光系はハーフミラーおよび2枚の干渉フィルター(スペクトルウ $\sim 3\text{Pa}$)を用い、2本の光電子増倍管により2波長を検出する。また、信号処理には2台のトランジメントレコーダー(岩田DM-901)を用い、ゲートタイム 10nsec で2チャンネルのデータを取得する。測定データはミニコンを用いて記録、処理、表示が行なわれた。

このシステムにより、さらに高精度の NO_2 濃度測定が可能となり、各種の測定実験に応用できたものと考えていた。

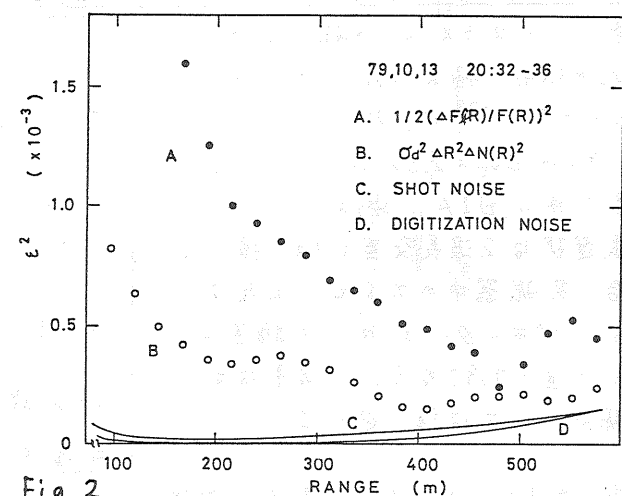


Fig. 2

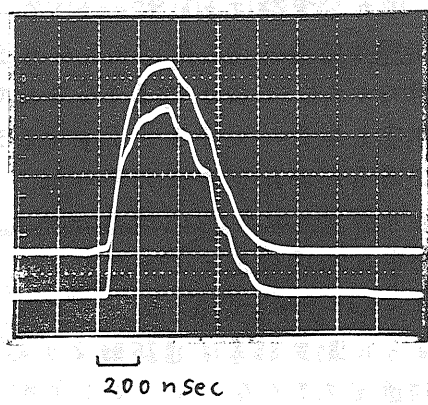


Fig. 3